

本資料のうち、枠囲みの内容は、  
営業秘密又は防護上の観点から  
公開できません。

|                  |            |
|------------------|------------|
| 東海第二発電所 工事計画審査資料 |            |
| 資料番号             | 工認-700 改3  |
| 提出年月日            | 平成30年9月13日 |

V-2-9-2-8 サプレッション・チェンバアクセスハッチの  
耐震性についての計算書

## 目次

|                             |    |
|-----------------------------|----|
| 1. 概要 .....                 | 1  |
| 2. 一般事項 .....               | 1  |
| 2.1 構造計画 .....              | 1  |
| 2.2 評価方針 .....              | 3  |
| 2.3 適用基準 .....              | 3  |
| 2.4 記号の説明 .....             | 4  |
| 2.5 計算精度と数値の丸め方 .....       | 4  |
| 3. 評価部位 .....               | 5  |
| 4. 地震応答解析及び構造強度評価方法 .....   | 5  |
| 4.1 地震応答解析及び構造強度評価方法 .....  | 5  |
| 4.2 荷重の組合せ及び許容限界 .....      | 6  |
| 4.3 解析モデル及び諸元 .....         | 6  |
| 4.4 固有周期 .....              | 6  |
| 4.5 設計用地震力 .....            | 6  |
| 4.6 計算方法 .....              | 6  |
| 4.7 計算条件 .....              | 6  |
| 4.8 応力の評価 .....             | 6  |
| 5. 評価結果 .....               | 21 |
| 5.1 設計基準対象施設としての評価結果 .....  | 21 |
| 5.2 重大事故等対処設備としての評価結果 ..... | 27 |

## 1. 概要

本計算書は、添付書類「V-2-1-9 機能維持の基本方針」にて設定している構造強度及び機能維持の設計方針に基づき、サプレッション・チェンバアクセスハッチが設計用地震力に対して十分な構造強度を有していることを説明するものである。

サプレッション・チェンバアクセスハッチは設計基準対象施設においてはSクラス施設に、重大事故等対処設備においては常設耐震重要重大事故防止設備及び常設重大事故緩和設備に分類される。以下、設計基準対象施設及び重大事故等対処設備としての構造強度評価を示す。

## 2. 一般事項

### 2.1 構造計画

サプレッション・チェンバアクセスハッチの構造計画を表 2-1 に示す。

表 2-1 構造計画

| 計画の概要   |   | 概略構造図  |
|---|---|--|
| 基礎・支持構造   | 主体構造  |  |
| <p>・サプレッション・チェンバ<br/>アクセスハッチは原子炉格納<br/>容器のサプレッション・チェ<br/>ンバ円筒部に溶接で支持され<br/>る。</p> | <p>・内径 [ ] mm, 板厚 [ ] mm, 長さ [ ] mm の円筒胴及び板厚 [ ] mm の鏡板で構成さ<br/>れる鋼製構造物である。</p> | <p>概略構造図</p> <p>サプレッション・チェンバ<br/>アクセスハッチ</p> <p>円筒胴</p> <p>鏡板</p> <p>フランジ</p> <p>サプレッション・チェンバ円筒部</p> <p>サプレッション・チェンバ<br/>アクセスハッチ取付部</p> <p>サプレッション・チェンバ<br/>アクセスハッチ拡大図<br/>(単位 : mm)</p> |

## 2.2 評価方針

サプレッション・チェンバアクセスハッチの応力評価は、添付書類「V-2-1-9 機能維持の基本方針 3.1 構造強度上の制限」にて設定した荷重及び荷重の組み合わせ並びに許容限界に基づき、「2.1 構造計画」にて示すサプレッション・チェンバアクセスハッチの部位を踏まえた「3. 評価部位」にて設定する箇所において、「4.3 解析モデル及び諸元」及び「4.4 固有周期」で算出した固有周期及び荷重に基づく応力等が許容限界に収まるることを、「4. 地震応答解析及び構造強度評価」にて示す方法にて確認することで実施する。確認結果を「5. 評価結果」に示す。

サプレッション・チェンバアクセスハッチの耐震評価フローを図 2-1 に示す。

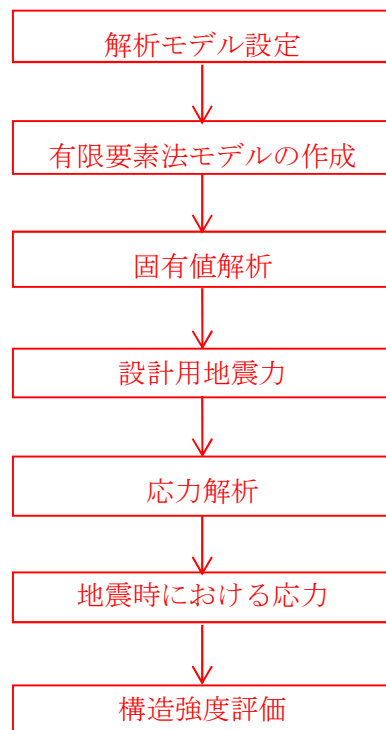


図 2-1 サプレッション・チェンバアクセスハッチの耐震評価フロー

## 2.3 適用基準

適用基準を以下に示す。

- (1) 原子力発電所耐震設計技術指針 J E A G 4 6 0 1 - 1987 (日本電気協会)
- (2) 原子力発電所耐震設計技術指針 重要度分類・許容応力編 J E A G 4 6 0 1 ・補-1984  
(日本電気協会)
- (3) 原子力発電所耐震設計技術指針 J E A G 4 6 0 1 - 1991 追補版 (日本電気協会)
- (4) 発電用原子力設備規格 設計・建設規格 (2005年版 (2007年追補版含む。) JSME S N C 1-2005/2007 (日本機械学会) (以下「設計・建設規格」という。)

## 2.4 記号の説明

| 記号         | 記号の説明                           | 単位  |
|------------|---------------------------------|-----|
| $d_i$      | 各部位の直径 ( $i = 1, 2$ )           | mm  |
| E          | 縦弾性係数                           | MPa |
| $K_e$      | 弾塑性解析に用いる繰返しピーク応力強さの補正係数        | —   |
| $\ell_i$   | 各部位の長さ ( $i = 1, 2, 3\cdots$ )  | mm  |
| $N_a$      | 地震時の許容繰り返し回数                    | —   |
| $N_c$      | 地震時の実際の繰り返し回数                   | —   |
| $m_0$      | 質量                              | kg  |
| $P_D$      | 最高使用圧力 (内圧)                     | kPa |
| $P_{DO}$   | 最高使用圧力 (外圧)                     | kPa |
| $P_{DBA}$  | 冷却材喪失事故後の最大内圧                   | kPa |
| $P_{SAL}$  | 圧力 (SA後長期内圧)                    | kPa |
| $P_{SALL}$ | 圧力 (SA後長々期内圧)                   | kPa |
| $P_b$      | 一次曲げ応力                          | MPa |
| $P_L$      | 一次局部膜応力                         | MPa |
| $P_m$      | 一次一般膜応力                         | MPa |
| Q          | 二次応力                            | MPa |
| R          | 半径、長さ                           | mm  |
| S          | 材料の許容引張応力                       | MPa |
| $S_d^*$    | 弾性設計用地震動 $S_d$ により定まる地震力又は静的地震力 | —   |
| $S_s$      | 基準地震動 $S_s$ により定まる地震力           | —   |
| $S_p$      | 地震荷重のみにおける一次+二次+ピーク応力の応力差範囲     | MPa |
| $S_1$      | 繰返しピーク応力強さ                      | MPa |
| $S_1'$     | 補正繰返しピーク応力強さ                    | MPa |
| $S_n$      | 地震動による応力振幅                      | MPa |
| $S_u$      | 材料の設計引張強さ                       | MPa |
| $S_y$      | 材料の設計降伏点                        | MPa |
| T          | 温度                              | °C  |
| $T_D$      | 最高使用温度                          | °C  |
| $T_{SAL}$  | 温度 (SA後長期温度)                    | °C  |
| $T_{SALL}$ | 温度 (SA後長々期温度)                   | °C  |
| t          | 板厚                              | mm  |
| $\nu$      | ポアソン比                           | —   |

## 2.5 計算精度と数値の丸め方

精度は 6 衔以上を確保する。表示する数値の丸め方は表 2-2 に示すとおりとする。

表 2-2 表示する数値の丸め方

| 数値の種類              | 単位   | 処理桁        | 処理方法 | 表示桁                    |
|--------------------|------|------------|------|------------------------|
| 固有周期               | s    | 小数点以下第 4 位 | 四捨五入 | 小数点以下第 3 位             |
| 力                  | N    | 有効数字 4 衔目  | 四捨五入 | 有効数字 3 衔 <sup>*1</sup> |
| モーメント              | N・mm | 有効数字 4 衔目  | 四捨五入 | 有効数字 3 衔 <sup>*1</sup> |
| 算出応力               | MPa  | 小数点以下第 1 位 | 切上げ  | 整数位                    |
| 許容応力 <sup>*2</sup> | MPa  | 小数点以下第 1 位 | 切捨て  | 整数位                    |

注記 \*1：絶対値が 1000 以上のときは、べき数表示とする。

\*2：設計・建設規格 付録材料図表に記載された温度の中間における引張強さ及び降伏点は比例法により補間した値の小数点以下第 1 位を切り捨て、整数位までの値とする。

### 3. 計算部位

サプレッション・チェンバアクセスハッチの形状及び主要寸法を図 3-1 に、**使用材料及び使用部位**を表 3-1 に示す。

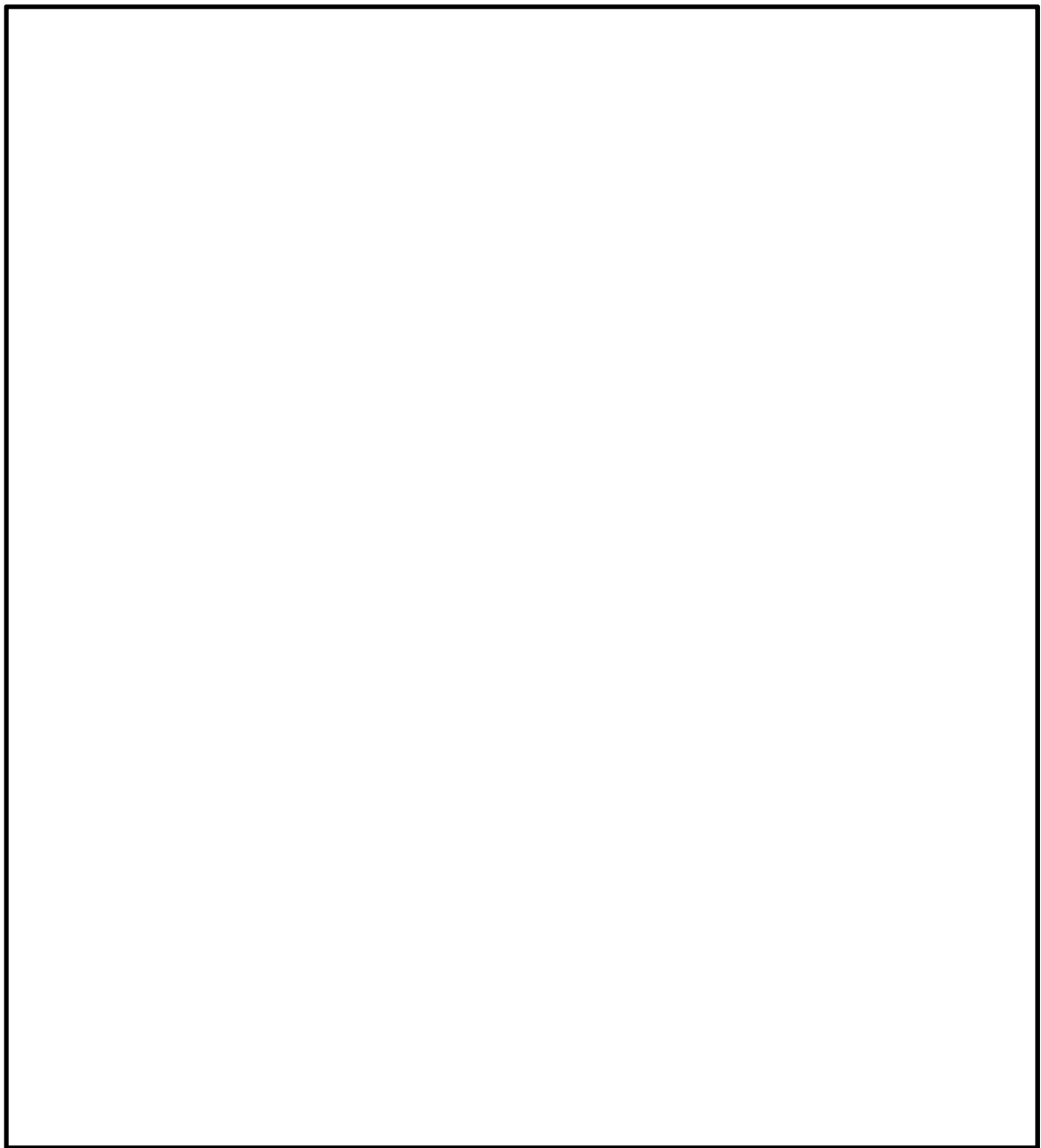


図 3-1 サプレッション・チェンバアクセスハッチの形状及び主要寸法

表 3-1 使用材料表

| 使用部位                   | 使用材料     | 備考      |
|------------------------|----------|---------|
| サプレッション・チェンバ<br>円筒部シェル | SGV49 相当 | SGV480* |
| 補強板                    | SGV49 相当 | SGV480* |

注記 \* : 新 JIS を示す。

#### 4. 地震応答解析及び構造強度評価

##### 4.1 地震応答解析及び構造強度評価方法

- (1) サプレッション・チェンバアクセスハッチは、原子炉格納容器のサプレッション・チェンバ円筒胴に支持される構造物である。サプレッション・チェンバアクセスハッチに作用する地震力は、サプレッション・チェンバアクセスハッチのサプレッション・チェンバ円筒胴への取り付け方向を考慮し、サプレッション・チェンバアクセスハッチに対して軸方向及び軸直角方向（水平、鉛直）に作用するものとし、固有周期に応じた応答加速度に基づき算出する。サプレッション・チェンバアクセスハッチの耐震評価として、上記の応答解析に基づき算出した地震力を用いて、構造強度評価を行う。
- (2) 構造評価に用いる寸法は、公称値を使用する。
- (3) 概略構造図を表 2-1 に示す。

##### 4.2 荷重の組合せ及び許容限界

###### 4.2.1 荷重の組合せ及び許容限界

サプレッション・チェンバアクセスハッチの荷重の組合せ及び許容応力状態のうち、設計基準対象施設の評価に用いるものを表 4-1 に、重大事故等対処設備の評価に用いるものを表 4-2 に示す。表で使用される記号は添付書類「V-2-1-9 機能維持の基本方針」に従うものとする。

詳細な荷重の組合せは、添付書類「V-1-8-1 原子炉格納施設の設計条件に関する説明書」に従い、対象機器の設置位置等を考慮し決定する。

###### 4.2.2 許容限界

サプレッション・チェンバアクセスハッチの許容限界を表 4-3 に示す。

###### 4.2.3 使用材料の許容応力評価条件及び許容応力

サプレッション・チェンバアクセスハッチの許容応力評価条件のうち、設計基準対象施設の評価に用いるものを表 4-4 に、重大事故等対処設備の評価に用いるものを表 4-5 に示す。また、使用材料の許容応力を表 4-6 及び表 4-7 に示す。

表4-1 荷重の組合せ及び許容応力状態（設計基準対象施設）

| 施設区分    |         | 機器名称                 | 耐震設計上の重要度分類 | 機器等の区分  | 荷重の組合せ  | 許容応力状態             |
|---------|---------|----------------------|-------------|---------|---|--------------------|
| 原子炉格納施設 | 原子炉格納容器 | サプレッシヨン・チャンバーアクセスハッチ | S           | クラスMC容器 | D + P + M + S <sub>d</sub> *                            | III <sub>A</sub> S |
|         |         |                      |             |         | D + P + M + S <sub>s</sub>                              | IV <sub>A</sub> S  |
|         |         |                      |             |         | D + P <sub>L</sub> + M <sub>L</sub> + S <sub>d</sub> ** | IV <sub>A</sub> S  |

注記 \* : 原子炉格納容器は冷却材喪失事故後の最終障壁となることから、構造全体としての安全裕度を確認する意味で、冷却材喪失事故後の最大内圧との組合せを考慮する。

表 4-2 荷重の組合せ及び許容応力状態（重大事故等対処設備）

| 施設区分    |         | 機器名称                 | 設備分類 <sup>*1</sup> | 機器等の区分          | 荷重の組合せ   | 許容応力状態   |
|---------|---------|----------------------|--------------------|-----------------|--|--|
| 原子炉格納施設 | 原子炉格納容器 | サプレッシヨン・チャンバーアクセスハッチ | 常設耐震／防止<br>常設／緩和   | 重大事故等クラス<br>2容器 | D + P <sub>SALL</sub> + M <sub>SALL</sub> + S <sub>s</sub> | V <sub>A</sub> S<br>(V <sub>A</sub> Sとして<br>IV <sub>A</sub> Sの許容限<br>界を用いる。) |
|         |         |                      |                    |                 | D + P <sub>SAL</sub> + M <sub>SAL</sub> + S <sub>d</sub>   | V <sub>A</sub> S<br>(V <sub>A</sub> Sとして<br>IV <sub>A</sub> Sの許容限<br>界を用いる。) |

注記 \*1 : 「常設耐震／防止」は常設耐震重要重大事故防止設備、「常設／緩和」は常設重大事故緩和設備を示す。

\*2 : 原子炉格納容器は、放射性物質放出の最終障壁となることから、重大事故等後の最高内圧と最高温度との組合せを考慮する。

表4-3 許容限界（クラスMC容器及び重大事故等クラス2容器）

| 許容応力状態   | 許容限界 <sup>*1</sup>  |                             |  |   |                       | 特別な応力限界<br>純せん<br>断応力                                 | 支圧応力 |  |
|--|---|-----------------------------|--|---|-----------------------|---|------|--|
|  | 一次一般膜応力   | 一次膜応力＋<br>一次曲げ応力            | 一次＋二次応力  | 一次＋二次＋ピーク<br>応力   | 特別な応力限界               |   |      |  |
|  |   |                             |  |   | 純せん<br>断応力            | 支圧応力  |      |  |
| III <sub>A</sub> S   | S <sub>y</sub> と0.6・S <sub>u</sub> の小さい方。<br>ただし、オーステナイト系ステンレス鋼及高ニッケル合金については1.2・Sとする。   | 左欄の<br>1.5倍の値 <sup>*2</sup> |  |   | 0.6・S <sup>*4*5</sup> | S <sub>y</sub> <sup>*6</sup><br>(1.5・S <sub>y</sub> ) |      |  |
| IV <sub>A</sub> S  | 構造上の連続な部分は0.6・S <sub>u</sub> 、不連続な部分はS <sub>y</sub> と0.6・S <sub>u</sub> の小さい方。<br>ただし、オーステナイト系ステンレス鋼及び高ニッケル合金については、構造上の連続な部分は2・Sと0.6S <sub>u</sub> の小さい方、不連続な部分は1.2・Sとする。 |                             | 3・S <sup>*3</sup><br>左欄の<br>1.5倍の値 <sup>*2</sup> | S <sub>d</sub> 又はS <sub>s</sub> 地震動のみによる疲労解析を行い、運転状態I、IIにおける疲労累積係数との和が1.0以下であること。 |                       |   |      |  |
| V <sub>A</sub> S<br>(V <sub>A</sub> Sとして<br>IV <sub>A</sub> Sの許容限界<br>を用いる。) |   |                             |  |   | 0.4・S <sub>u</sub>    | S <sub>u</sub> <sup>*6</sup><br>(1.5・S <sub>u</sub> ) |      |  |

注記 \*1：当該の応力が生じない場合、規格基準で省略可能とされている場合及び他の応力で代表可能である場合は評価を省略する。

\*2：設計・建設規格 PVB-3111に準じる場合は、純曲げによる全断面降伏荷重と初期降伏荷重の比又は1.5のいずれか小さい方の値（ $\alpha$ ）を用いる。

\*3：3・Sを超える場合は弾塑性解析を行う。この場合、設計・建設規格 PVB-3300（PVB-3313を除く。S<sub>m</sub>はSと読み替える。）の簡易弾塑性解析を用いる。

\*4：設計・建設規格 PVB-3140(6)を満たすときは疲労解析不要。

ただし、PVB-3140(6)の「応力の全振幅」は「 $S_d$ 又は $S_s$ 地震動による応力の全振幅」と読み替える。

\*5：運転状態I, IIにおいて疲労解析を要しない場合は、地震動のみによる疲労累積係数を1.0以下とする。

\*6：( )内は、支圧荷重の作用端から自由端までの距離が支圧荷重の作用幅より大きい場合の値。

表4-4 使用材料の許容応力評価条件（設計基準対象施設）

| 評価部材                   | 材料     | 温度条件<br>(°C) |       | S<br>(MPa) | S <sub>y</sub><br>(MPa) | S <sub>u</sub><br>(MPa) | S <sub>y</sub> (R T)<br>(MPa) |
|------------------------|--------|--------------|-------|------------|-------------------------|-------------------------|-------------------------------|
| サプレッション・チェンバ<br>円筒部シェル | SGV480 | 周囲環境<br>温度   | 104.5 | 131        | 237                     | 430                     | —                             |

表4-5 使用材料の許容応力評価条件（重大事故等対処設備）

| 評価部材                   | 材料     | 温度条件<br>(°C) |     | S<br>(MPa) | S <sub>y</sub><br>(MPa) | S <sub>u</sub><br>(MPa) | S <sub>y</sub> (R T)<br>(MPa) |
|------------------------|--------|--------------|-----|------------|-------------------------|-------------------------|-------------------------------|
| サプレッション・チェンバ<br>円筒部シェル | SGV480 | 周囲環境<br>温度   | 150 | 131        | 232                     | 424                     | —                             |
|                        |        | 周囲環境<br>温度   | 171 | 131        | 229                     | 423                     | —                             |

表4-6 許容応力（設計基準対象施設）

(単位 : MPa)

| 材料     | 温度<br>(°C) | 許容応力<br>状態         | 許容応力    |             |                 |
|--------|------------|--------------------|---------|-------------|-----------------|
|        |            |                    | 一次応力    |             | 一次+二次応力         |
|        |            |                    | $P_m^*$ | $P_L + P_b$ | $P_L + P_b + Q$ |
| SGV480 | 104.5      | III <sub>A</sub> S | 237*    | 356         | 393             |
|        |            | IV <sub>A</sub> S  | 258*    | 387         | 393             |

注記 \* : 評価対象は、膜応力を考慮した最小板厚の評価を実施し、許容応力以下であること  
が明らかなため、評価結果の記載については省略する。

表4-7 許容応力（重大事故等対処設備）

(単位 : MPa)

| 材料     | 温度<br>(°C) | 許容応力<br>状態       | 許容応力    |             |                 |
|--------|------------|------------------|---------|-------------|-----------------|
|        |            |                  | 一次応力    |             | 一次+二次応力         |
|        |            |                  | $P_m^*$ | $P_L + P_b$ | $P_L + P_b + Q$ |
| SGV480 | 150        | V <sub>A</sub> S | 254     | 381         | 393             |
|        | 171        | V <sub>A</sub> S | 253     | 380         | 393             |

注記 \* : 評価対象は、膜応力を考慮した最小板厚の評価を実施し、許容応力以下であること  
が明らかなため、評価結果の記載については省略する。

#### 4.2.4 設計荷重

(1) 設計基準対象施設としての最高使用圧力及び最高使用温度

内圧  $P_D$  310 kPa

外圧  $P_{DO}$  14 kPa

温度  $T_D$  104.5 °C

(2) 冷却材喪失事故後の最大内圧  $P_{DBA}$  196 kPa

(3) 重大事故等対処施設としての評価圧力及び評価温度

内圧  $P_{SAL}$  465 kPa (SA後長期)

内圧  $P_{SALL}$  200 kPa (SA後長々期)

温度  $T_{SAL}$  171 °C (SA後長期)

温度  $T_{SALL}$  150 °C (SA後長々期)

(4) 死荷重

a. サプレッション・チェンバアクセスハッチの自重 [ ] N (補強板重量含む)

b. ドライウェルの自重

サプレッション・チェンバアクセスハッチより上部の原子炉格納容器の自重及び付加物の重量を死荷重とする。

(5) 活荷重

a. 床に加わる荷重 [ ] N/m<sup>2</sup>

b. ドライウェルの荷重

サプレッション・チェンバアクセスハッチより上部の活荷重を考慮する。

(6) 水荷重

サプレッション・チェンバアクセスハッチ内保有水重量

[ ] N

重大事故等対処設備の評価に用いる水荷重として、下記の冠水水位による水頭圧を考慮する。

冠水水位 EL. [ ] mm

### (7) 原子炉格納容器の地震荷重

原子炉格納容器に加わる地震荷重について、添付書類「V-2-3-2 炉心、原子炉圧力容器及び原子炉内部構造物並びに原子炉格納容器及び原子炉本体の基礎の地震応答計算書」において計算された計算結果を用いる。原子炉格納容器に加わる鉛直荷重及び鉛直方向地震荷重のうち、設計基準対象施設の評価に用いるものを表 4-8 に、重大事故等対処設備の評価に用いるものを表 4-9 に示す。「弾性設計用地震動  $S_d$  又は静的地震力」及び「基準地震動  $S_s$ 」による水平方向地震荷重のうち、設計基準対象施設の評価に用いるものを表 4-10 に、重大事故等対処設備の評価に用いるものを表 4-11 に示す。

表 4-8 鉛直荷重及び鉛直方向地震荷重（設計基準対象施設）

(単位 : N)

| 通常運転時              |         |       | 燃料交換時              |         |       |
|--------------------|---------|-------|--------------------|---------|-------|
| 鉛直荷重 <sup>*1</sup> | 地震荷重    |       | 鉛直荷重 <sup>*2</sup> | 地震荷重    |       |
|                    | $S_d^*$ | $S_s$ |                    | $S_d^*$ | $S_s$ |
|                    |         |       |                    |         |       |

注記 \*1 : 鉛直方向にかかる死荷重

\*2 : 鉛直方向にかかる死荷重と活荷重を合わせた荷重

表 4-9 鉛直荷重及び鉛直方向地震荷重（重大事故等対処設備）

(単位 : N)

| 重大事故等時 |       |       |
|--------|-------|-------|
| 鉛直荷重*  | 地震荷重  |       |
|        | $S_d$ | $S_s$ |
|        |       |       |

注記 \* : 鉛直方向にかかる死荷重

表 4-10 水平方向地震荷重（設計基準対象施設）

| 弾性設計用地震動 $S_d$ 又は<br>静的地震力による地震荷重 |                 | 基準地震動 $S_s$<br>による地震荷重 |                 |
|-----------------------------------|-----------------|------------------------|-----------------|
| せん断力<br>(N)                       | モーメント<br>(N・mm) | せん断力<br>(N)            | モーメント<br>(N・mm) |
|                                   |                 |                        |                 |
|                                   |                 |                        |                 |

表 4-11  
水平方向地震荷重（重大事故等対処設備）

| 弾性設計用地震動 $S_d$<br>による地震荷重 |                 | 基準地震動 $S_s$<br>による地震荷重 |                 |
|---------------------------|-----------------|------------------------|-----------------|
| せん断力<br>(N)               | モーメント<br>(N·mm) | せん断力<br>(N)            | モーメント<br>(N·mm) |
|                           |                 |                        |                 |

#### 4.3 解析モデル及び諸元

サプレッション・チェンバアクセスハッチの解析モデルを図 4-1 に、解析モデルの概要を以下に示す。また、機器の諸元を表 4-12 に示す。

- (1) サプレッション・チェンバアクセスハッチをシェルモデルにてモデル化する。また、サプレッション・チェンバアクセスハッチが取り付けられる原子炉格納容器胴板もシェル要素でモデル化する。
- (2) サプレッション・チェンバアクセスハッチの質量はシェルモデルに付加する。
- (3) 拘束条件は原子炉格納容器本体の上端及び下端の全周を完全拘束とする。
- (4) 解析コードは「MSC\_NASTRAN」を使用し、固有値及び応力を求める。なお、評価に用いる解析コード MSC\_NASTRAN の検証及び妥当性確認等の概要については、添付書類「V-5-1 計算機プログラム（解析コード）の概要・MSC\_NASTRAN」に示す。

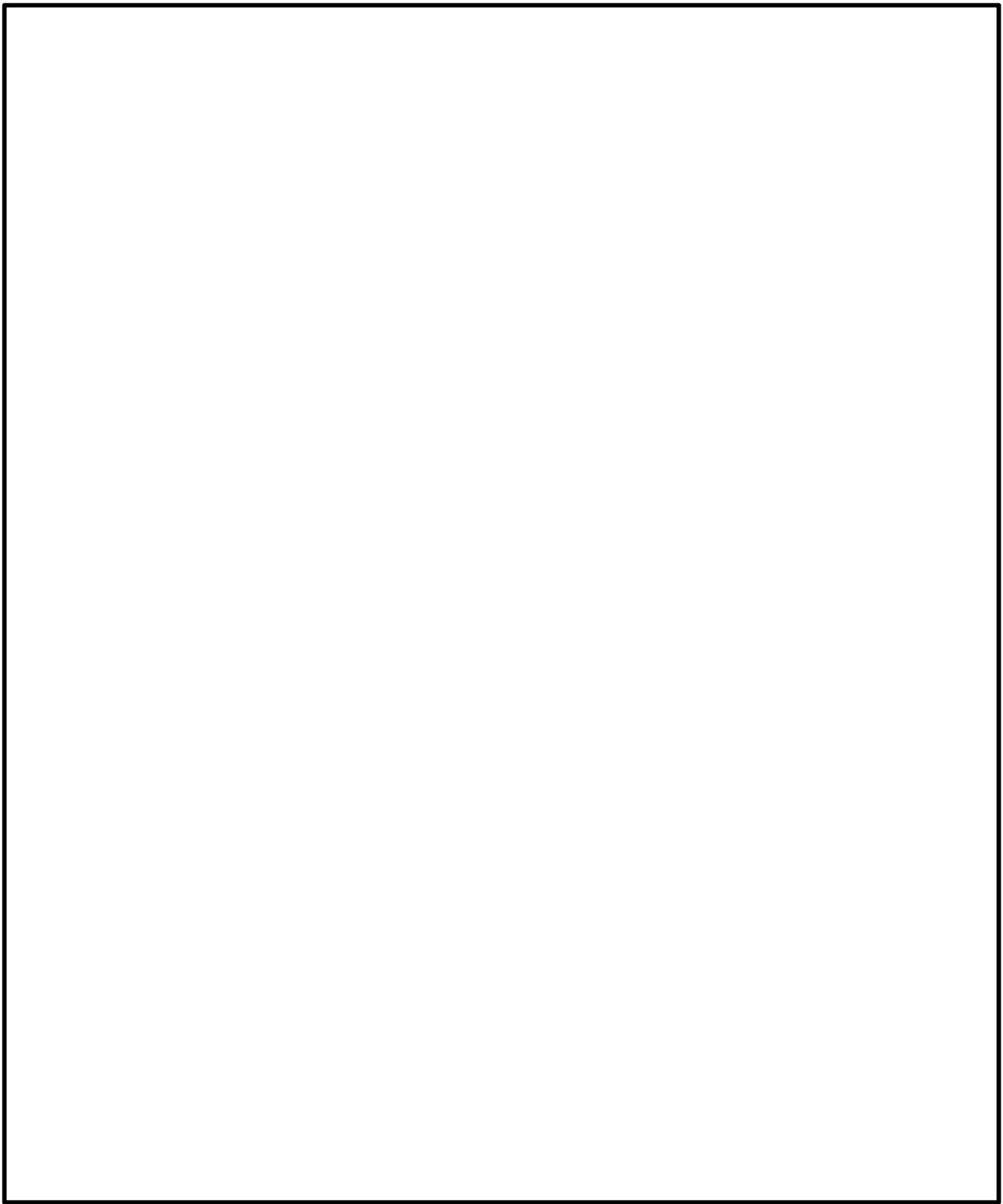


図 4-1 サプレッション・チェンバアクセスハッシュ解析モデル

表 4-12 解析モデル諸元表

| 項目    | 記号    | 単位  | 入力値                                    |
|-------|-------|-----|--|
| 材質    | —     | —   | SGV480                                 |
| 質量    | $m_0$ | kg  | [ ]                                    |
| 温度条件  | T     | °C  | 66(ドライウェル)<br>32(サプレッション・チェンバ)         |
| 縦弾性係数 | E     | MPa | 200000(ドライウェル)<br>202000(サプレッション・チェンバ) |
| ボアソン比 | $\nu$ | —   | 0.3                                    |
| 要素数   | —     | 個   | [ ]                                    |
| 節点数   | —     | 個   | [ ]                                    |

#### 4.4 固有周期

固有値解析の結果を表 4-13 及び表 4-14 に、振動モード図を図 4-2 及び図 4-3 に示す。

表 4-13 固有周期（設計基準対象施設）

| モード | 固有周期<br>(s) | 卓越方向      | 刺激係数 |   |   |
|-----|-------------|-----------|------|---|---|
|     |             |           | X    | Y | Z |
| 1 次 |             | 水平方向（周方向） |      |   |   |
| 2 次 |             | 鉛直方向      |      |   |   |
| 3 次 |             | 水平方向（径方向） |      |   |   |
| 4 次 | 0.05 未満*    | —         | —    | — | — |

注記 \* : ハッチ質量を保守的に集中質量でモデル化しており、4次以降のモードは算出されない。

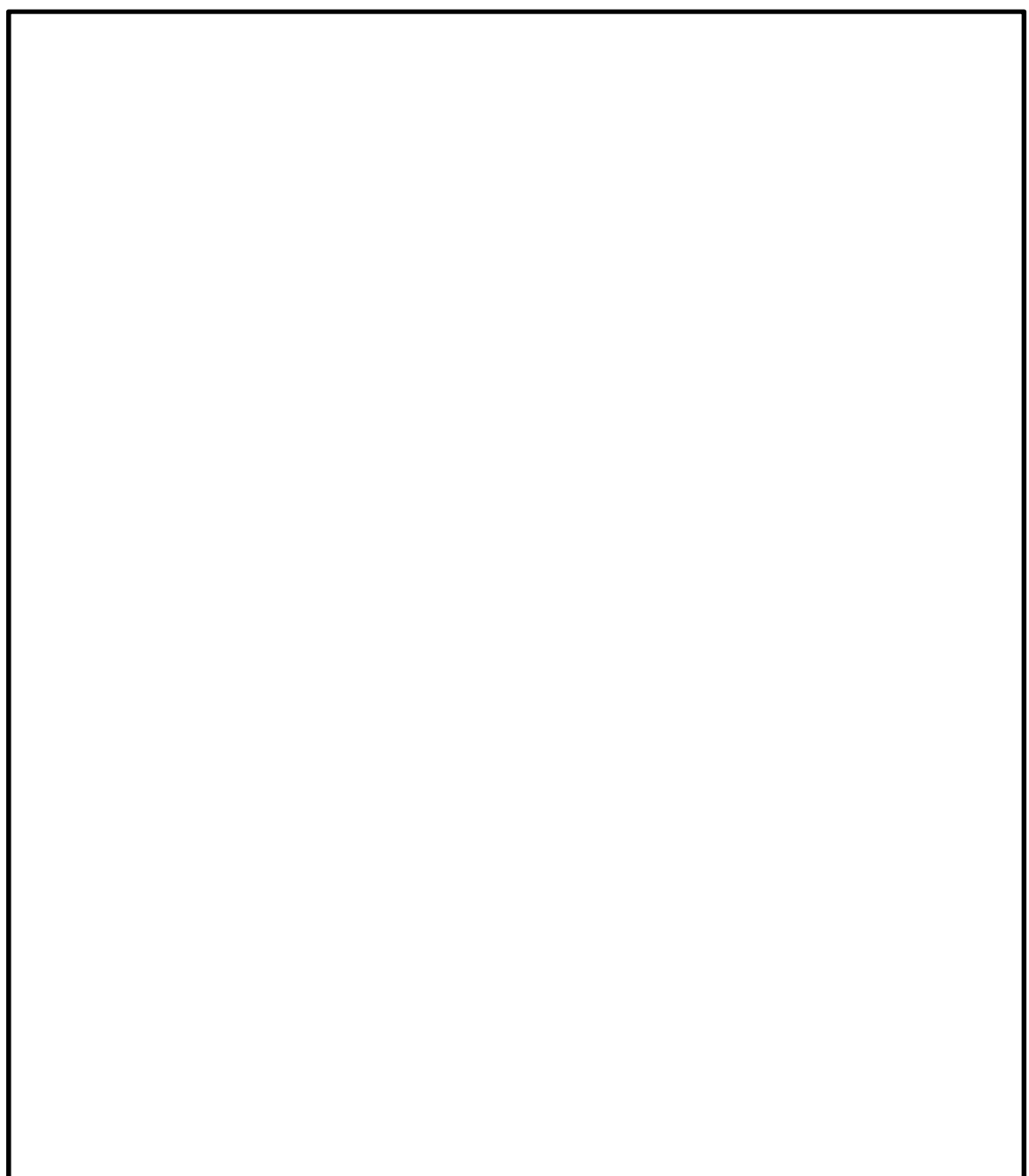


図 4-2 振動モード図

表 4-14 固有周期（重要事故等対処設備）

| モード | 固有周期<br>(s) | 卓越方向      | 刺激係数 |   |   |
|-----|-------------|-----------|------|---|---|
|     |             |           | X    | Y | Z |
| 1 次 |             | 水平方向（周方向） |      |   |   |
| 2 次 |             | 水平方向（径方向） |      |   |   |
| 3 次 |             | 鉛直方向      |      |   |   |
| 4 次 |             | 水平方向（周方向） |      |   |   |

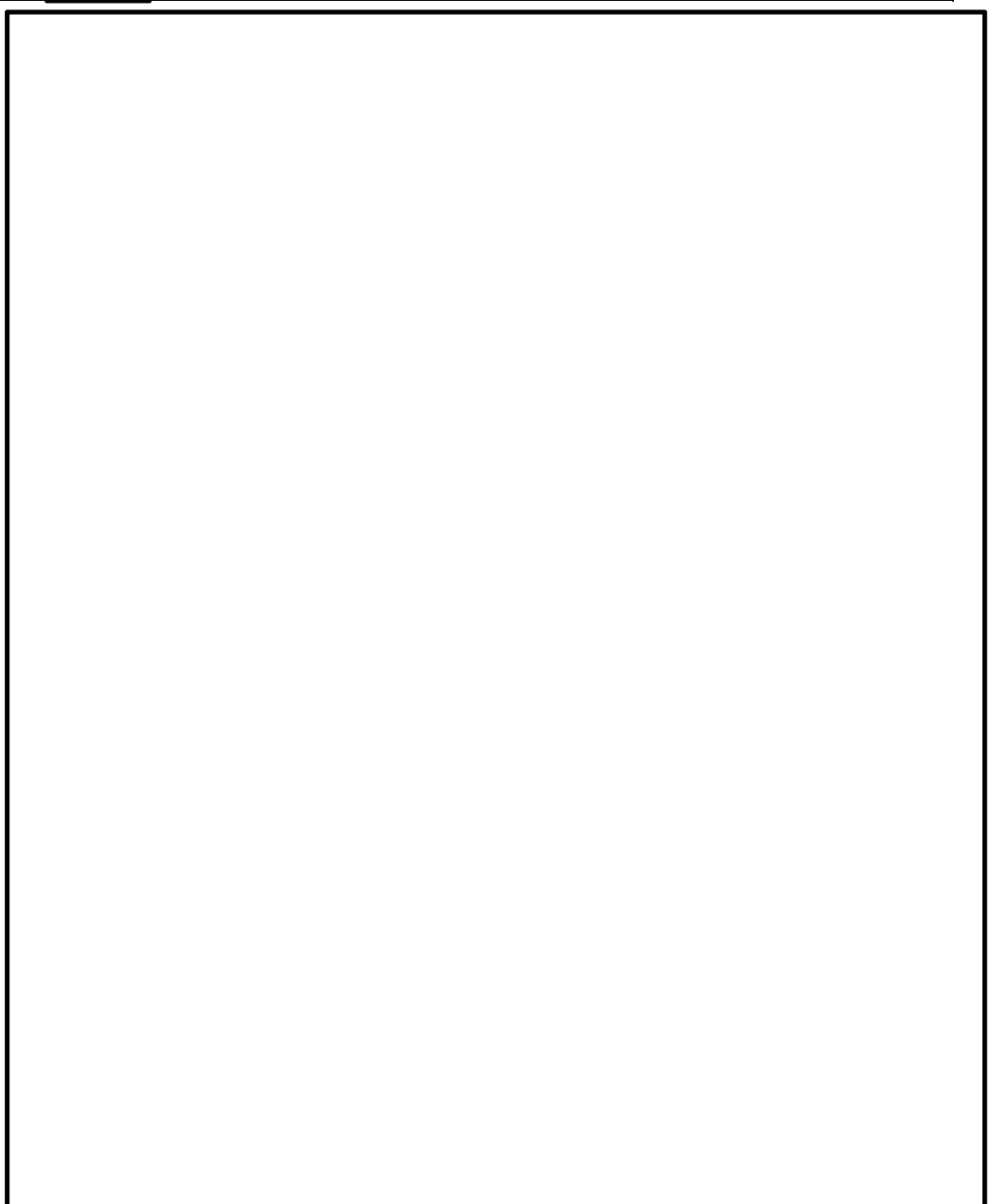


図 4-3 振動モード図

#### 4.5 設計用地震力

評価に用いる設計用地震力を表 4-15 及び表 4-16 に示す。

「弹性設計用地震動  $S_d$  又は静的地震力」及び「基準地震動  $S_s$ 」による地震力は、添付書類「V-2-1-7 設計用床応答曲線の作成方針」に基づき設定する。また、減衰定数は添付書類「V-2-1-6 地震応答解析の基本方針」に記載の減衰定数を用いる。

表 4-15 設計用地震力（設計基準対象施設）

| 据付場所<br>及び<br>設置高さ | 固有周期<br>( s ) |          | 弹性設計用地震動 $S_d$<br>又は静的震度 |                      | 基準地震動 $S_s$          |                      | 減衰定数(%)  |          |
|--------------------|---------------|----------|--------------------------|----------------------|----------------------|----------------------|----------|----------|
|                    | 水平<br>方向      | 鉛直<br>方向 | 水平方向<br>設計震度             | 鉛直方向<br>設計震度         | 水平方向<br>設計震度         | 鉛直方向<br>設計震度         | 水平<br>方向 | 鉛直<br>方向 |
| 格納容器               |               |          | $C_H = 0.53$<br>又は*3     | $C_V = 0.42$<br>又は*3 | $C_H = 0.85$<br>又は*4 | $C_V = 0.80$<br>又は*4 | 1.0*5    | 1.0*5    |

注記 \*1：水平方向設計震度に用いる設置高さを示す。

\*2：鉛直方向設計震度に用いる設置高さを示す。

\*3：弹性設計用地震動  $S_d$  に基づく設備評価用床応答曲線より得られる値

\*4：基準地震動  $S_s$  に基づく設備評価用床応答曲線より得られる値

\*5：溶接構造物に適用される減衰定数の値

表 4-16 設計用地震力（重大事故等対処設備）

| 据付場所<br>及び<br>設置高さ | 固有周期<br>( s ) |          | 弹性設計用地震動 $S_d$       |                      | 基準地震動 $S_s$          |                      | 減衰定数(%)  |          |
|--------------------|---------------|----------|----------------------|----------------------|----------------------|----------------------|----------|----------|
|                    | 水平<br>方向      | 鉛直<br>方向 | 水平方向<br>設計震度         | 鉛直方向<br>設計震度         | 水平方向<br>設計震度         | 鉛直方向<br>設計震度         | 水平<br>方向 | 鉛直<br>方向 |
| 格納容器               |               |          | $C_H = 0.53$<br>又は*3 | $C_V = 0.31$<br>又は*3 | $C_H = 0.64$<br>又は*4 | $C_V = 0.59$<br>又は*4 | 1.0*5    | 1.0*5    |

注記 \*1：水平方向設計震度に用いる設置高さを示す。

\*2：鉛直方向設計震度に用いる設置高さを示す。

\*3：弹性設計用地震動  $S_d$  に基づく設備評価用床応答曲線より得られる値

\*4：基準地震動  $S_s$  に基づく設備評価用床応答曲線より得られる値

\*5：溶接構造物に適用される減衰定数の値

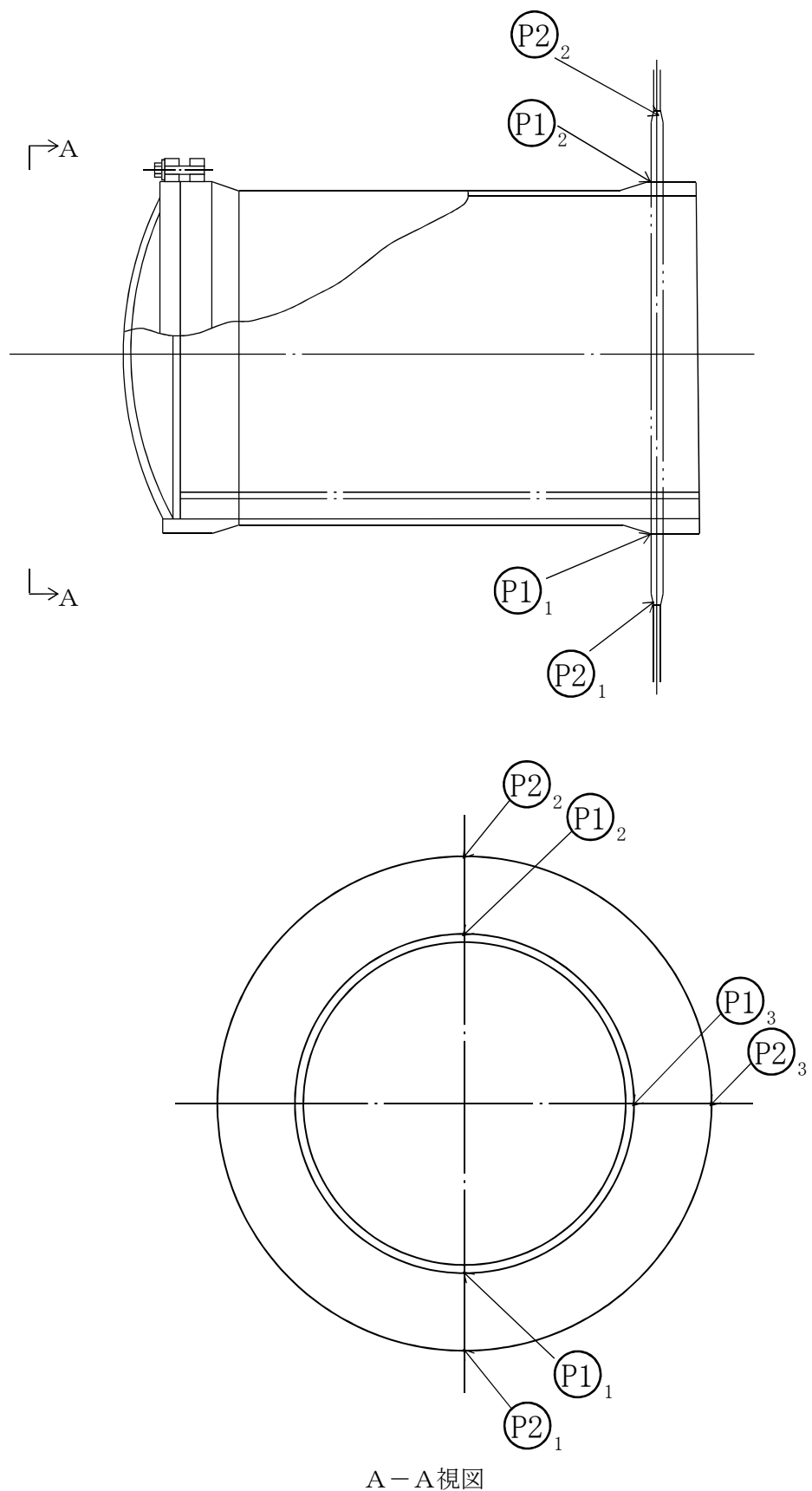
## 4.6 計算方法

### 4.6.1 応力評価点

サプレッション・チェンバアクセスハッチの応力評価点は、サプレッション・チェンバアクセスハッチを構成する部材の形状及び荷重伝達経路を考慮し、発生応力が大きくなる部位を選定する。選定した応力評価点を表 4-17 及び図 4-3 に示す。

表 4-17 応力評価点

| 応力評価点番号 | 応力評価点   |
|---------|---|
| P 1     | 円筒胴と補強板との結合部<br>(P 1 - 1 ~ P 1 - 3)             |
| P 2     | サプレッション・チェンバ円筒胴と補強板との結合部<br>(P 2 - 1 ~ P 2 - 3) |



A-A 視図

図 4-3 サプレッション・チェンバアクセスハッチの応力評価位置

#### 4.6.2 応力計算方法

サプレッション・チェンバアクセスハッチの表 4-16 及び図 4-3 で示した応力評価点での応力は、図 4-1 の解析モデルを用いて算出した応力と原子炉格納容器本体に作用する荷重による応力を適切に足し合わせることにより算出する。

応力計算方法について、以下に示す。

##### 4.6.2.1 円筒胴と補強板との結合部及びドライウェル円錐胴と補強板との結合部（応力評価点 P 1 及び P 2）

###### (1) サプレッション・チェンバアクセスハッチに作用する荷重による応力

サプレッション・チェンバアクセスハッチに作用する死荷重、地震荷重による応力は、図 4-1 に示すサプレッション・チェンバアクセスハッチの解析モデルを用いて算出する。地震荷重による応力は、サプレッション・チェンバアクセスハッチの質量を等分布に付加し、「4.5 設計用地震力」に基づく地震荷重を入力して算出する。

###### (2) 原子炉格納容器本体に作用する荷重による応力

原子炉格納容器に作用する圧力、死荷重及び地震荷重による応力は、添付書類「V-2-9-2-1 原子炉格納容器の耐震性についての計算書」で解析した応力を用いる。地震荷重による応力は、「4.2.4(7) 原子炉格納容器の地震荷重」に基づく地震荷重を入力して算出する。

###### (3) 応力の足し合わせ

表 4-16 及び図 4-3 で示した応力評価点での応力は、(1)で求めたサプレッション・チェンバアクセスハッチに作用する荷重による応力と、(2)で求めた原子炉格納容器本体に作用する荷重による応力を適切に足し合わせることで算出する。

###### (4) 解析コード

解析コードは MSC NASTRAN を用いる。なお、評価に用いる解析コード MSC NASTRAN の検証及び妥当性確認等の概要については、添付書類「V-5-1 計算機プログラム（解析コード）の概要・MSC NASTRAN」に示す。

#### 4.7 計算条件

応力解析に用いる自重及び荷重は、4.2.4 項及び 4.5 項に示す。

#### 4.8 応力の評価

4.6 項で求めた応力は表 4-6 及び表 4-7 に記載される値以下であること。

## 5. 評価結果

### 5.1 設計基準対象施設としての評価結果

サプレッション・チェンバアクセスハッチの設計基準対象施設としての耐震評価結果を以下に示す。発生値は許容値を満足しており、耐震性を有することを確認した。

#### (1) 許容応力状態III<sub>A</sub>Sに対する評価

許容応力状態III<sub>A</sub>Sに対する応力評価結果を表 5-1 に示す。

表 4-1 に示す荷重の組合せのうち、D + P + M + S<sub>d</sub>\*の評価について記載している。

#### (2) 訸容応力状態IV<sub>A</sub>Sに対する評価

許容応力状態IV<sub>A</sub>Sに対する応力評価結果を表 5-2 及び疲労評価結果を表 5-3 に示す。

表 4-2 に示す荷重の組合せのうち、D + P + M + S<sub>s</sub> 及び D + P<sub>L</sub> + M<sub>L</sub> + S<sub>d</sub>\*の評価について記載している。

表 5-1 許容応力状態III<sub>A</sub>Sに対する評価結果 (D+P+M+S<sub>d</sub><sup>\*</sup>)

| 評価対象設備               | 評価部位    | 応力分類                     | III <sub>A</sub> S |     | 判定  | 備考 |
|----------------------|---------|--------------------------|--------------------|-----|-----|----|
|                      |         |                          | 発生値                | 許容値 |     |    |
|                      |         |                          | MPa                | MPa |     |    |
| サプレッション・チェンバーアクセスハッチ | P 1 - 1 | 円筒胴と補強板との結合部             | 一次膜応力強さ+曲げ応力強さ     | 62  | 356 | ○  |
|                      |         |                          | 一次+二次応力強さ          | 274 | 393 | ○  |
|                      | P 1 - 2 | 円筒胴と補強板との結合部             | 一次膜応力強さ+曲げ応力強さ     | 71  | 356 | ○  |
|                      |         |                          | 一次+二次応力強さ          | 204 | 393 | ○  |
|                      | P 1 - 3 | 円筒胴と補強板との結合部             | 一次膜応力強さ+曲げ応力強さ     | 69  | 356 | ○  |
|                      |         |                          | 一次+二次応力強さ          | 208 | 393 | ○  |
|                      | P 2 - 1 | サプレッション・チェンバ円筒胴と補強板との結合部 | 一次膜応力強さ+曲げ応力強さ     | 79  | 356 | ○  |
|                      |         |                          | 一次+二次応力強さ          | 240 | 393 | ○  |
|                      | P 2 - 2 | サプレッション・チェンバ円筒胴と補強板との結合部 | 一次膜応力強さ+曲げ応力強さ     | 54  | 356 | ○  |
|                      |         |                          | 一次+二次応力強さ          | 156 | 393 | ○  |
|                      | P 2 - 3 | サプレッション・チェンバ円筒胴と補強板との結合部 | 一次膜応力強さ+曲げ応力強さ     | 104 | 356 | ○  |
|                      |         |                          | 一次+二次応力強さ          | 302 | 393 | ○  |

表 5-2(1) 許容応力状態IV<sub>A</sub>Sに対する評価結果 (D+P<sub>L</sub>+M<sub>L</sub>+S<sub>d</sub><sup>\*</sup>)

| 評価対象設備               | 評価部位                                | 応力分類           | IV <sub>A</sub> S |     | 判定 | 備考 |
|----------------------|-------------------------------------|----------------|-------------------|-----|----|----|
|                      |                                     |                | 発生値               | 許容値 |    |    |
|                      |                                     |                | MPa               | MPa |    |    |
| サプレッション・チェンバーアクセスハッチ | P 1 - 1<br>円筒胴と補強板との結合部             | 一次膜応力強さ+曲げ応力強さ | 103               | 387 | ○  |    |
|                      |                                     | 一次+二次応力強さ      | 224               | 393 | ○  |    |
|                      | P 1 - 2<br>円筒胴と補強板との結合部             | 一次膜応力強さ+曲げ応力強さ | 112               | 387 | ○  |    |
|                      |                                     | 一次+二次応力強さ      | 170               | 393 | ○  |    |
|                      | P 1 - 3<br>円筒胴と補強板との結合部             | 一次膜応力強さ+曲げ応力強さ | 99                | 387 | ○  |    |
|                      |                                     | 一次+二次応力強さ      | 172               | 393 | ○  |    |
|                      | P 2 - 1<br>サプレッション・チェンバ円筒胴と補強板との結合部 | 一次膜応力強さ+曲げ応力強さ | 108               | 387 | ○  |    |
|                      |                                     | 一次+二次応力強さ      | 198               | 393 | ○  |    |
|                      | P 2 - 2<br>サプレッション・チェンバ円筒胴と補強板との結合部 | 一次膜応力強さ+曲げ応力強さ | 111               | 387 | ○  |    |
|                      |                                     | 一次+二次応力強さ      | 126               | 393 | ○  |    |
|                      | P 2 - 3<br>サプレッション・チェンバ円筒胴と補強板との結合部 | 一次膜応力強さ+曲げ応力強さ | 113               | 387 | ○  |    |
|                      |                                     | 一次+二次応力強さ      | 248               | 393 | ○  |    |

表 5-2(2) 許容応力状態IV<sub>A</sub>Sに対する評価結果 (D+P+M+S<sub>s</sub>)

| 評価対象設備                           | 評価部位                             | 応力分類           | IV <sub>A</sub> S |     | 判定 | 備考   |
|----------------------------------|----------------------------------|----------------|-------------------|-----|----|------|
|                                  |                                  |                | 発生値               | 許容値 |    |      |
|                                  |                                  |                | MPa               | MPa |    |      |
| サプレッション・チェンバーアクセスハッチ             | P 1 - 1 円筒胴と補強板との結合部             | 一次膜応力強さ+曲げ応力強さ | 108               | 387 | ○  |      |
|                                  |                                  | 一次+二次応力強さ      | 512               | 393 | ✗* |      |
|                                  |                                  | 疲労評価           | 0.374             | 1   | ○  | 単位なし |
|                                  | P 1 - 2 円筒胴と補強板との結合部             | 一次膜応力強さ+曲げ応力強さ | 123               | 387 | ○  |      |
|                                  |                                  | 一次+二次応力強さ      | 386               | 393 | ○  |      |
|                                  |                                  | 一次膜応力強さ+曲げ応力強さ | 120               | 387 | ○  |      |
|                                  | P 1 - 3 円筒胴と補強板との結合部             | 一次+二次応力強さ      | 412               | 393 | ✗* |      |
|                                  |                                  | 疲労評価           | 0.150             | 1   | ○  | 単位なし |
|                                  |                                  | 一次膜応力強さ+曲げ応力強さ | 138               | 387 | ○  |      |
| P 2 - 1 サプレッション・チェンバ円筒胴と補強板との結合部 | P 2 - 1 サプレッション・チェンバ円筒胴と補強板との結合部 | 一次+二次応力強さ      | 456               | 393 | ✗* |      |
|                                  |                                  | 疲労評価           | 0.051             | 1   | ○  | 単位なし |
|                                  |                                  | 一次膜応力強さ+曲げ応力強さ | 99                | 387 | ○  |      |
|                                  | P 2 - 2 サプレッション・チェンバ円筒胴と補強板との結合部 | 一次+二次応力強さ      | 290               | 393 | ○  |      |
|                                  |                                  | 一次膜応力強さ+曲げ応力強さ | 176               | 387 | ○  |      |
|                                  |                                  | 一次+二次応力強さ      | 610               | 393 | ✗* |      |
|                                  | P 2 - 3 サプレッション・チェンバ円筒胴と補強板との結合部 | 疲労評価           | 0.283             | 1   | ○  | 単位なし |

注記 \* : P 1 - 1, P 1 - 3 及び P 2 - 1, P 2 - 3 の一次+二次応力評価結果は許容値を満足しないが、設計・建設規格 PVB-3300に基づいて疲労評価を行い、この結果より耐震性を有することを確認した。

表 5-3 許容応力状態IV<sub>A</sub>S に対する疲労評価結果

| 評価部位    | $S_n$<br>(MPa) | $K_e$ | $S_p$<br>(MPa) | $S_{\text{e}}$<br>(MPa) | $S'_{\text{e}}$<br>(MPa) | $N_a$<br>(回) | $N_c$<br>(回) | 疲労累積係数<br>$N_c/N_a$ | 備考 |
|---------|----------------|-------|----------------|-------------------------|--------------------------|--------------|--------------|---------------------|----|
| P 1 - 1 | 512            |       |                |                         |                          |              |              | 0.374               |    |
| P 1 - 3 | 412            |       |                |                         |                          |              |              | 0.150               |    |
| P 2 - 1 | 456            |       |                |                         |                          |              |              | 0.051               |    |
| P 2 - 3 | 610            |       |                |                         |                          |              |              | 0.283               |    |

注記 \* :  $S_{\text{e}}^*$ に  $(E_0/E)$  を乗じた値である

$$E_0 = 2.07 \times 10^5 \text{ MPa} \quad E = 1.98 \times 10^5 \text{ MPa}$$

$E_0$  : 縦弾性係数

$E$  : 運転温度の縦弾性係数

## 5.2 重大事故等対処設備としての評価結果

サプレッション・チェンバアクセスハッチの重大事故等対処設備としての耐震評価結果を以下に示す。発生値は許容値を満足しており、耐震性を有することを確認した。

### (1) 許容応力状態 $V_A S$ に対する評価

許容応力状態  $V_A S$  に対する応力評価結果を表 5-4 及び疲労評価結果を表 5-5 に示す。

表 4-2 に示す荷重の組合せのうち、 $D + P_{SALL} + M_{SALL} + S_s$  及び  $D + P_{SALL} + M_{SAL} + S_d$  の評価について記載している。

表 5-4(1) 許容応力状態  $V_A S$  に対する評価結果 ( $D + P_{SAL} + M_{SAL} + S_d$ )

| 評価対象設備                     | 評価部位                              | 応力分類           | IV <sub>A</sub> S |     | 判定 | 備考 |
|----------------------------|-----------------------------------|----------------|-------------------|-----|----|----|
|                            |                                   |                | 発生値               | 許容値 |    |    |
|                            |                                   |                | MPa               | MPa |    |    |
| サプレッション・チェンバーアクセスハッチ<br>28 | P 1-1<br>円筒胴と補強板との結合部             | 一次膜応力強さ+曲げ応力強さ | 221               | 380 | ○  |    |
|                            |                                   | 一次+二次応力強さ      | 222               | 393 | ○  |    |
|                            | P 1-2<br>円筒胴と補強板との結合部             | 一次膜応力強さ+曲げ応力強さ | 263               | 380 | ○  |    |
|                            |                                   | 一次+二次応力強さ      | 206               | 393 | ○  |    |
|                            | P 1-3<br>円筒胴と補強板との結合部             | 一次膜応力強さ+曲げ応力強さ | 234               | 380 | ○  |    |
|                            |                                   | 一次+二次応力強さ      | 256               | 393 | ○  |    |
|                            | P 2-1<br>サプレッション・チェンバ円筒胴と補強板との結合部 | 一次膜応力強さ+曲げ応力強さ | 216               | 380 | ○  |    |
|                            |                                   | 一次+二次応力強さ      | 210               | 393 | ○  |    |
|                            | P 2-2<br>サプレッション・チェンバ円筒胴と補強板との結合部 | 一次膜応力強さ+曲げ応力強さ | 259               | 380 | ○  |    |
|                            |                                   | 一次+二次応力強さ      | 168               | 393 | ○  |    |
|                            | P 2-3<br>サプレッション・チェンバ円筒胴と補強板との結合部 | 一次膜応力強さ+曲げ応力強さ | 247               | 380 | ○  |    |
|                            |                                   | 一次+二次応力強さ      | 388               | 393 | ○  |    |

表 6-4(2) 許容応力状態  $V_A S$  に対する評価結果 ( $D + P_{SALL} + M_{SALL} + S_s$ )

| 評価対象設備               | 評価部位                             | 応力分類           | IVAS  |     | 判定 | 備考   |
|----------------------|----------------------------------|----------------|-------|-----|----|------|
|                      |                                  |                | 発生値   | 許容値 |    |      |
|                      |                                  |                | MPa   | MPa |    |      |
| サプレッション・チェンバーアクセスハッチ | P 1 - 1 円筒胴と補強板との結合部             | 一次膜応力強さ+曲げ応力強さ | 186   | 380 | ○  |      |
|                      |                                  | 一次+二次応力強さ      | 404   | 393 | ✗* |      |
|                      |                                  | 疲労評価           | 0.142 | 1   | ○  | 単位なし |
|                      | P 1 - 2 円筒胴と補強板との結合部             | 一次膜応力強さ+曲げ応力強さ | 236   | 380 | ○  |      |
|                      |                                  | 一次+二次応力強さ      | 362   | 393 | ○  |      |
|                      |                                  | 一次膜応力強さ+曲げ応力強さ | 220   | 380 | ○  |      |
|                      | P 1 - 3 円筒胴と補強板との結合部             | 一次+二次応力強さ      | 436   | 393 | ✗* |      |
|                      |                                  | 疲労評価           | 0.199 | 1   | ○  | 単位なし |
|                      |                                  | 一次膜応力強さ+曲げ応力強さ | 207   | 380 | ○  |      |
|                      | P 2 - 1 サプレッション・チェンバ円筒胴と補強板との結合部 | 一次+二次応力強さ      | 378   | 393 | ○  |      |
|                      |                                  | 一次膜応力強さ+曲げ応力強さ | 208   | 380 | ○  |      |
|                      |                                  | 一次+二次応力強さ      | 286   | 393 | ○  |      |
|                      | P 2 - 3 サプレッション・チェンバ円筒胴と補強板との結合部 | 一次膜応力強さ+曲げ応力強さ | 226   | 380 | ○  |      |
|                      |                                  | 一次+二次応力強さ      | 668   | 393 | ✗* |      |
|                      |                                  | 疲労評価           | 0.428 | 1   | ○  | 単位なし |

注記 \* : P 1 - 1, P 1 - 3 及び P 2 - 3 の一次+二次応力評価結果は許容値を満足しないが、設計・建設規格 PVB-3300 に基づいて疲労評価を行い、この結果より耐震性を有することを確認した。

表 6-5 許容応力状態  $V_A S$  に対する疲労評価結果

| 評価部位    | $S_n$<br>(MPa) | $K_e$ | $S_p$<br>(MPa) | $S_{\text{t}}$<br>(MPa) | $S_{\text{t}}^*$<br>(MPa) | $N_a$<br>(回) | $N_c$<br>(回) | 疲労累積係数<br>$N_c/N_a$ | 備考 |
|---------|----------------|-------|----------------|-------------------------|---------------------------|--------------|--------------|---------------------|----|
| P 1 - 1 | 404            |       |                |                         |                           |              |              | 0.142               |    |
| P 1 - 3 | 436            |       |                |                         |                           |              |              | 0.199               |    |
| P 2 - 3 | 668            |       |                |                         |                           |              |              | 0.428               |    |

注記 \* :  $S_{\text{t}}^*$  に  $(E_0/E)$  を乗じた値である

$$E_0 = 2.07 \times 10^5 \text{ MPa} \quad E = 1.95 \times 10^5 \text{ MPa}$$

$E_0$  : 縦弾性係数

$E$  : 運転温度の縦弾性係数